

УДК 531.3+551.556.5

РАСЧЕТ СИЛЫ СОПРОТИВЛЕНИЯ КРОНЫ ДЕРЕВА С УЧЕТОМ ЕЕ ФРАКТАЛЬНОЙ СТРУКТУРЫ

Рибко Д.В.

Командно-инженерный институт МЧС Республики Беларусь

e-mail: rebko.dmitriy@yandex.ru

Рассмотрена модель кроны дерева как фрактального объекта. Задача прохождения воздушного потока через крону дерева решена на основе вероятностных представлений, подобно тому как это делается при анализе рассеяния частиц и поглощения излучения. Рассмотрен частный случай, когда форма кроны дерева – трехосный эллипсоид. Получена зависимость силы сопротивления от скорости движения воздуха сквозь крону.

Model is considered as the crown of the tree fractal object. Problem airflow through the crown of the tree is solved on the basis of probabilistic concepts, just as it is done in the analysis of particle scattering and absorption of radiation. A special case when the shape of the tree crown - a triaxial ellipsoid. The dependence of the drag force of the air velocity through the crown.

(Поступила в редакцию 8 июля 2014 г.)

Введение. Территория любого региона Республики Беларусь подвержена комплексному воздействию десятков опасных природных явлений, развитие и негативное проявление которых в виде катастроф и стихийных бедствий ежегодно наносит огромный материальный ущерб и приводит к человеческим жертвам. Наиболее характерным природным явлением по повторяемости в зависимости от времени года является сильный ветер.

Сильный ветер приводит к большому материальному ущербу. Так за период с 2007 по 2013 год, по данным отдела статистики НИИ ПБиЧС МЧС Республики Беларусь, произошли 54 чрезвычайные ситуации, причиной которых стал сильный ветер. Материальный ущерб составил около 214 млрд. руб., было повреждено 125 029 га лесных массивов. Часто причиной повреждения линий электропередач, имущества людей, зданий и сооружений является упавшее от воздействия сильного ветра дерево. В связи с этим актуальна задача разработки динамических моделей дерева и их исследование для изучения пространственно-временного поведения дерева.

Задачу о моделировании падения дерева невозможно решить неотрывно от задачи о протекании воздуха сквозь крону дерева. Очевидно, что силы сопротивления, возникающие при этом, и действующие на дерево серьезно влияют на характер его движения. Закон, описывающий зависимость силы сопротивления от скорости протекания воздуха, не известен. Традиционно считается, что при малых скоростях сила сопротивления линейна по скорости, а при больших – пропорциональна квадрату скорости. Следует отметить, что крона дерева представляет собой пористую структуру (фрактальный объект), для которой, нельзя применить отмеченные выше рассуждения о зависимости силы сопротивления от скорости. Скорость потока воздуха изменяется благодаря рассеянию частиц воздуха, а также вследствие потери импульса, затраченного на деформацию веток кроны. Детальное изучение взаимодействия воздушного потока с кроной дерева затруднительно, поэтому в статье применен вероятностный подход, который применяется при анализе рассеивания частиц и поглощении излучения.

Моделирование. Среди сил, оказывающих воздействие на дерево, важную роль играет сила сопротивления воздуха. Подобная сила возникает при действии на стоящее дерево сил давления ветра либо при движении кроны падающего дерева. Упомянутые выше силы будем называть ветровой нагрузкой. Обычно в инженерных расчетах

используют упрощенное представление о форме кроны дерева в виде конуса с треугольной площадью миделевого сечения и с центром тяжести, расположенным на $1/2$ высоты кроны от ее основания. Ветровая нагрузка на крону рассчитывается по формуле

$$F_k = \Pi_k P, \quad (1)$$

где Π_k – лобовая поверхность кроны, воспринимающая давление ветра, m^2 ;

P – давление ветра, Па.

Лобовую поверхность кроны выражают через площадь миделевого (продольного осевого) сечения кроны A_k и коэффициент ее заполнения сучьями, ветвями, листьями, хвойными лапками и хвоей K_3 :

$$\Pi_k = A_k K_3. \quad (2)$$

Коэффициент заполнения K_3 различен для различных пород дерева и определяется опытным путем. В данной работе для расчета ветровой нагрузки используется подход, основанный на общих уравнениях механики сплошных сред [1].

Уравнения динамики сплошных сред можно установить на основе фундаментальных общих теорем динамики: теоремы об изменении импульса и теоремы об изменении кинетического момента. Запишем первую теорему:

$$\frac{dQ}{dt} = R^e, \quad (3)$$

где Q – импульс сплошной среды, заключенной в движущемся объеме V ;

R^e – внешние силы, действующие на движущийся материальный объем.

Уравнение (3) применимо не только для движущегося объема среды, но и для неподвижного объема пространства, сквозь который протекает среда. С помощью теоремы об изменении импульса для установившегося движения среды находим силу давления воздуха на крону дерева:

$$R = - \int_S \rho v (v \cdot n) dS, \quad (4)$$

где ρ – плотность среды;

v – вектор скорости выделенного элемента среды;

n – единичный вектор нормали к поверхности S , по которой выполняется интегрирование.

В нашем случае рассматриваемой средой является воздух. Проходя сквозь крону дерева, скорость воздуха уменьшается, при этом меняется его импульс и на крону дерева действует сила, что вытекает из уравнения (4). Эту силу сопротивления можно определять не только в случае движения кроны дерева (например, при падении дерева) но и при ветровой нагрузке на крону неподвижного дерева.

Для нахождения силы сопротивления кроны дерева воспользуемся уравнением (4). При этом направим ось z параллельно скорости воздушного потока, протекающего сквозь крону. В этом случае вектор скорости будет иметь вид:

$$v = v_z k, \quad (5)$$

где k – единичный вектор оси z .

Тогда уравнение (4) примет следующий вид:

$$R = - \int_S \rho v_z^2 k (k \times n) ds .$$

Скалярное произведение единичных векторов k и n есть по определению:

$$(k \cdot n) = \cos(kn) . \quad (6)$$

Подставляя выражение (6) в (4) получаем:

$$R = - \int_S \rho v_z^2 k \cos(kn) ds . \quad (7)$$

В дальнейшем будем пользоваться проекцией силы на ось z . Перейдем от поверхностного интеграла в правой части выражения (7) к двойному ($\cos(kn)ds = dxdy$). Так как поверхность кроны двухсторонняя, необходимо зафиксировать какую-либо из ее сторон и принимать площадь проекции со знаком «+», это равносильно выбору на поверхности определенной ориентации [2]. Поверхность, из которой выходит поток воздуха, будем считать положительно ориентированной, а поверхность, в которую входит поток, – отрицательно ориентированной. В каждой точке поверхности можно определить некоторую функцию скорости. Учитывая вышеперечисленное, можем переписать уравнение (7) в следующем виде:

$$R = \int_{D_2} \rho v_{z_0}^2 dxdy - \int_{D_1} \rho v_z^2 dxdy , \quad (8)$$

где D_1, D_2 – плоские фигуры – проекции поверхности кроны на плоскость xy , по которой выполняется интегрирование;

v_{z_0}, v_z – скорость на поверхности, в которую входит и выходит поток. Форма проекции определяется формой кроны.

В рассматриваемом случае скорость потока воздуха изменяется благодаря рассеянию частиц воздуха, а также вследствие потери импульса, затраченного на деформацию веток кроны. Детальное изучение взаимодействия воздушного потока с кроной дерева затруднительно, поэтому в дальнейшем применим вероятностный подход. В результате задача прохождения воздушного потока может быть решена на основе вероятностных представлений, подобно тому как это делается при анализе рассеяния частиц и поглощения излучения [3].

Пусть число неподвижных рассеивающих частиц в единице объема будет n . Заменим каждую рассеивающую частицу мишенью в виде кружка радиусом r и площадью σ , выбранной таким образом, что каждая движущаяся частица, которая пройдет внутри этой мишени, испытает отклонение. Площадь σ называется эффективным сечением и, соответственно, r – радиусом эффективного сечения. Произведение $n\sigma$ называется макроскопическим сечением; оно представляет собой сумму эффективных сечений в единице объема.

Рассмотрим ослабление потока частиц при прохождении сквозь слой любой толщины, имея в виду, что каждая частица, испытавшая «соударение», выйдет из параллельного потока и не будет зарегистрирована. Разобьем весь слой на бесконечно тонкие слои dz . Число рассеивающих частиц, приходящихся на каждую единицу площади слоя dz , будет ndz . Сумма их эффективных сечений равна σndz .

Если на переднюю поверхность бесконечно тонкого слоя падает параллельный поток частиц плотностью N , то ослабление потока будет

$$-dN = N \sigma ndz , \quad (9)$$

откуда, интегрируя, получаем

$$N = N_0 e^{-n\sigma z} = N_0 e^{-kz}, \quad (10)$$

где N_0 – плотность потока частиц на входе в толстый слой. Произведение $n\sigma$ обозначено буквой k .

С другой стороны, плотность потока частиц можем представить следующим образом:

$$N = \rho v. \quad (11)$$

Сопоставляя выражения (10) и (11), принимаем, что скорость потока воздуха при прохождении его через крону меняется согласно закону:

$$v = v_0 e^{-kz}, \quad (12)$$

где v_0 – начальная скорость потока на входе в крону дерева;

z – путь, пройденный выделенным элементом потока через крону.

Теперь задача свелась к вычислению выражения (8), распространенного на внешнюю поверхность, аппроксимирующую форму кроны. На поверхности, в которую входит поток, функция скорости постоянна и равна v_0 . На поверхности, из которой поток выходит, скорость меняется согласно закону (12). Учитывая все вышеперечисленное, получаем:

$$R = \int_{D_2} \rho v_0^2 dx dy - \int_{D_1} \rho (v_0 e^{-kz})^2 dx dy, \quad (13)$$

где D_1, D_2 – плоские фигуры – проекции поверхности кроны на плоскость xu , по которым выполняется интегрирование на входе и выходе потока. Будем считать их равными $D_1 = D_2 = D$.

Плотность воздуха и начальную скорость будем считать постоянными, поэтому вынесем их за знак интегрирования. Получаем:

$$R = \rho v_0^2 \int_D (1 - e^{-2kz}) dx dy. \quad (14)$$

Примем $2k = K$ и перепишем выражение (14) в следующем виде:

$$R = \rho v_0^2 \int_D (1 - e^{-Kz}) dx dy. \quad (15)$$

Практическое применение. Рассмотрим частный случай, когда форма кроны дерева – трехосный эллипсоид (рис. 1) [2]. В этом случае область D ограничена координатными осями и эллипсом. Следовательно, интеграл примет вид:

$$R = 4\rho v_0^2 \int_{-a}^a \int_0^{b\sqrt{1-\frac{x^2}{a^2}}} \left(1 - e^{-Kc\sqrt{1-\frac{x^2}{a^2}-\frac{y^2}{b^2}}} \right) dx dy. \quad (16)$$

Интегрирование ведется для одной четверти эллипсоида, поэтому перед интегралом (16) появляется четверка.

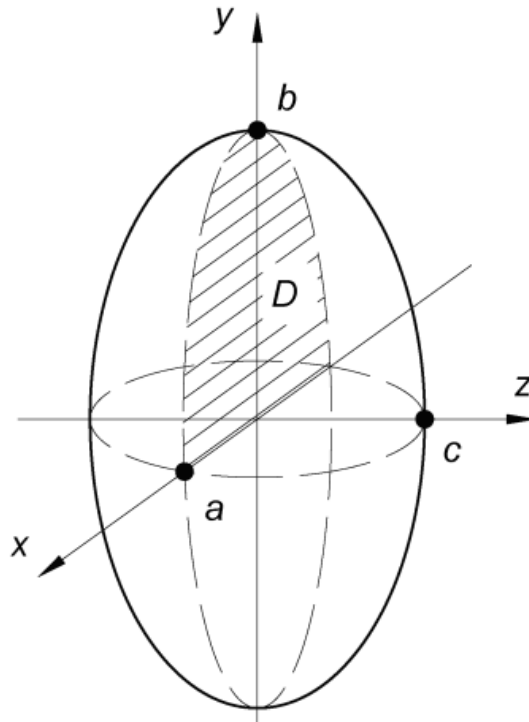


Рисунок 1 – Модель кроны дерева в виде трехосного эллипсоида вращения

Для решения интеграла (16) необходимо знать значение коэффициента K . С целью оценки его величины построим зависимость $R(K)$. Вычислим интеграл (16) численно и получим искомое значение силы сопротивления. Параметры кроны задаем исходя из реальных размеров крон деревьев (рис. 2) [4].

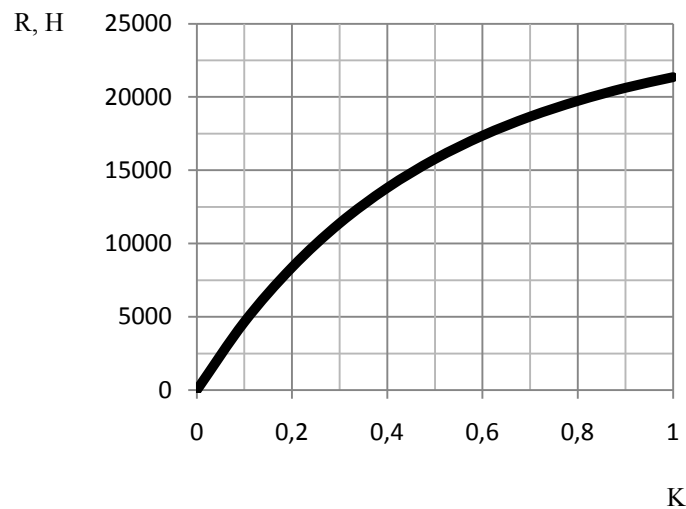


Рисунок 2 – Зависимость силы, действующей на крону дерева от коэффициента K
(Размеры кроны приняты следующие: $a = 3$ м, $b = 5$ м, $c = 3$ м, скорость $v_0 = 15$ м/с)

Значение K , равное нулю, соответствует абсолютно проницаемой кроне, и поэтому сила сопротивления равна нулю. Интересно посмотреть зависимость силы от величины скорости на входе в крону (рис. 3). Значения коэффициента K определяются экспериментально. В качестве примера примем $K = 0,3$.

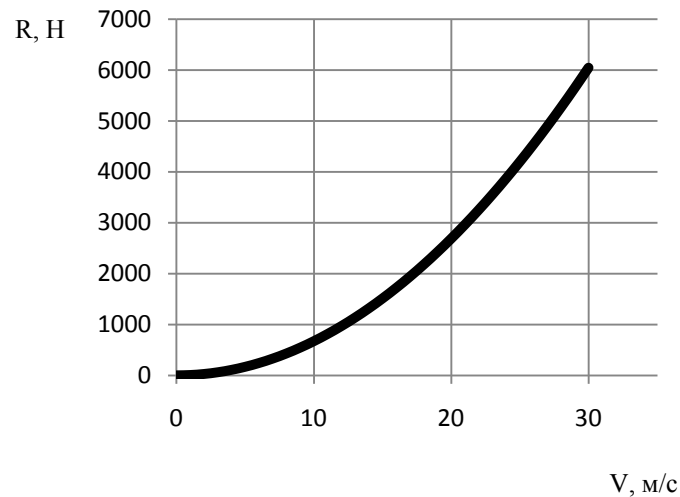


Рисунок 3 – Зависимость силы от скорости движения воздуха на входе в крону ($K = 0,3$)

Заключение. Подобные расчеты в дальнейшем будут проведены для различных поверхностей, которые аппроксимируют кроны различных пород деревьев. Для этого нужно поменять пределы интегрирования и уравнение поверхности кроны в интеграле (16).

Результаты расчетов могут быть применены при прогнозировании последствий чрезвычайных ситуаций, связанных с прохождением сильного ветра через лесные массивы; при моделировании растительных ветрозащитных полос вдоль автомобильных дорог; при расчете последствий воздействия взрывной волны на лесные массивы в государственной системе предупреждения и ликвидации чрезвычайных ситуаций

ЛИТЕРАТУРА

1. Wang, Gang. Optimization of the rod chain model to simulate the motions of a long flexible fiber in simple shear flows / Gang Wang, Wei Yu, Chixing Zhou //European Journal of Mechanics B. – 2006. – Vol. 25, № 3. – P. 337–347.
2. Allen, M.P. Computer Simulation of Liquids / M.P. Allen, D.J. Tildesley. – Oxford.: Clarendon press, 1999. – 385 p.
3. Денис, Дж. Численные методы безусловной оптимизации и решения нелинейных уравнений / Дж. Дэннис, Р. Шнабель. – М.: Мир, – 1988. – 440 с.
4. Коротаяев, Л.В. Параметры деревьев и хлыстов как объектов лесозаготовительного производства / Л.В. Коротаяев. – Л.: АЛТИ, 1982. – 80 с.